

Petit retour sur le TD1

Some aspect concerning the LMDZ dynamical core and its use

1. Grid

Staggered grid and dynamics/physics interface

Zooming capability

Vertical discretization

Nudging

2. Temporal scheme and filtering

Temporal schemes illustrated on a 0D model

The Matsuno/Leapfrog scheme

CFL criterion and longitudinal filtering

3. Dissipation

Principle of dissipation in 1D

Operator splitting

Constraints on the time step

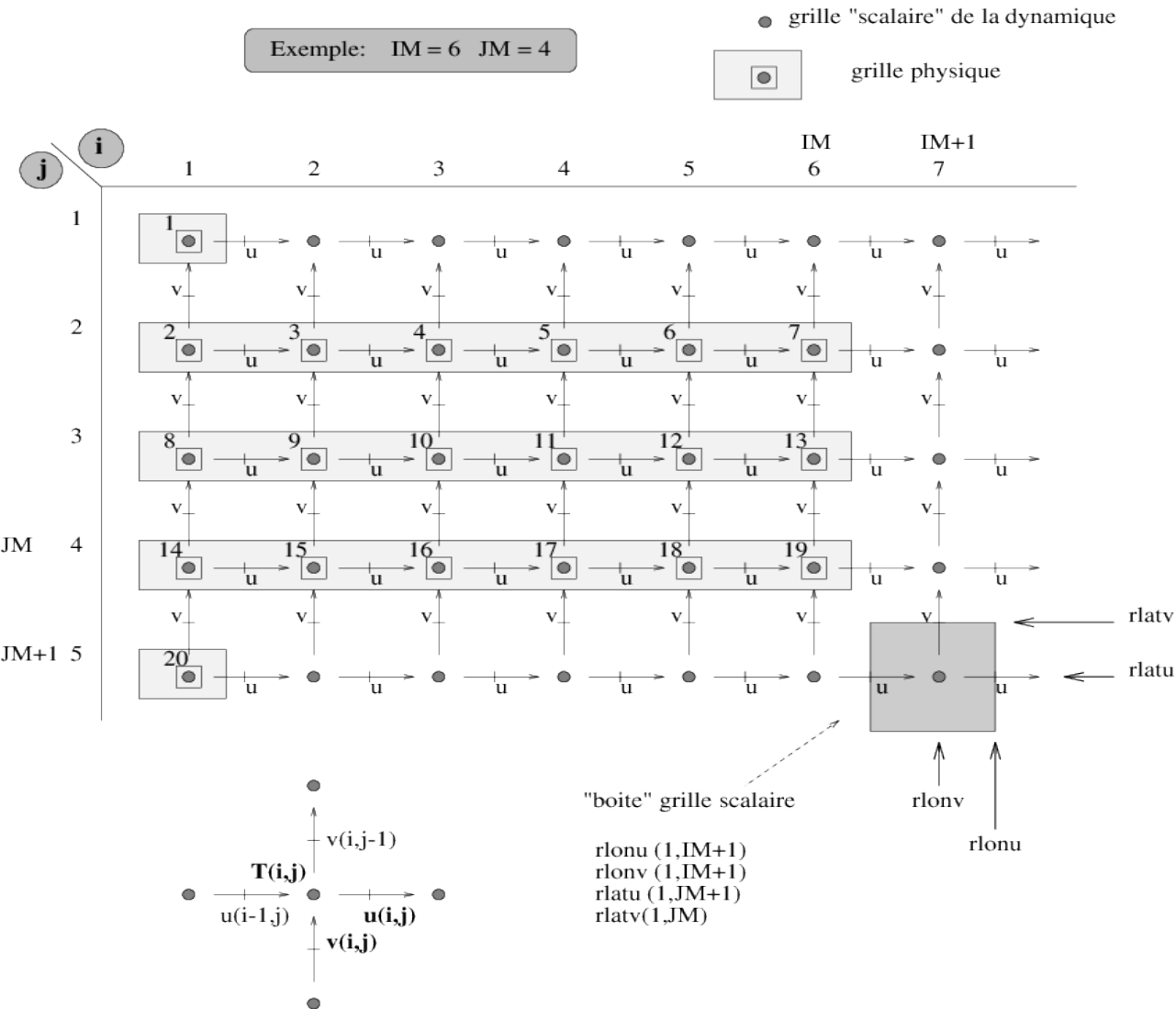
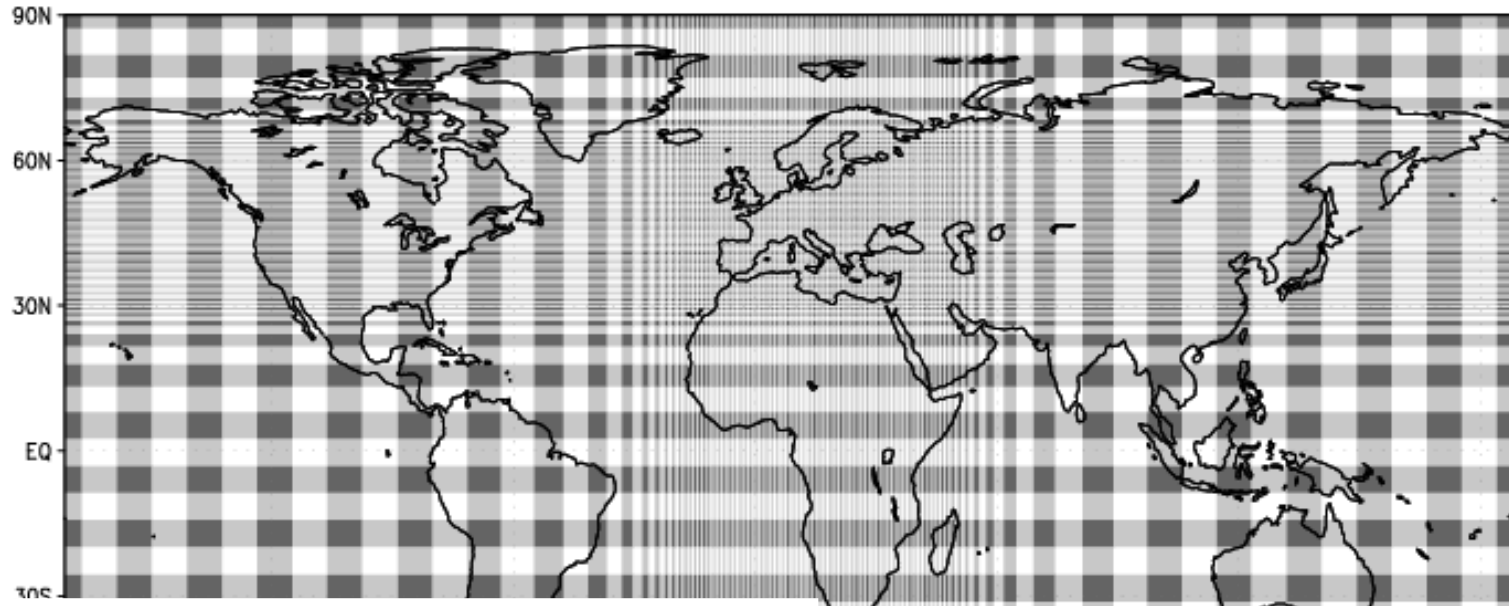


FIG. 2.2 – Grilles dynamique et physique pour une résolution horizontale 6×7 . Dans la dynamique (mais pas dans la physique) les vents u et v sont sur une grille dynamique décalée. Les autres variables sont sur la grille "scalaire" dynamique. La physique utilise cette même grille scalaire pour toutes les variables, sauf que les points sont indexés en un seul vecteur contenant $\text{NGRID}=2+(\text{JM}-1) \times \text{IM}$ points en comptant à partir du pôle nord. NB. Dans le programme fortran, on utilise les variables suivantes : $i_im=\text{IM}$, $i_ipl=\text{IM}+1$, $j_jm=\text{JM}$, $j_jp1=\text{JM}+1$.

iim, jjm, llm

Defined at
The compilation

option
-d 64x48x29
 In makegcm
 Or makelmdz*

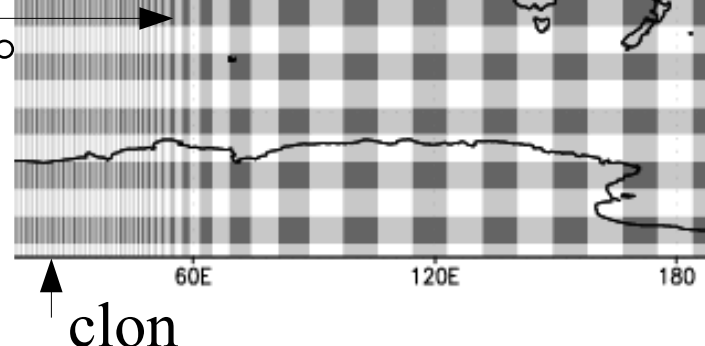


Zoom center :
clon : longitude (degrees)
clat : latitude (degrees)

grossimx/y : zooming factor
 in x/y

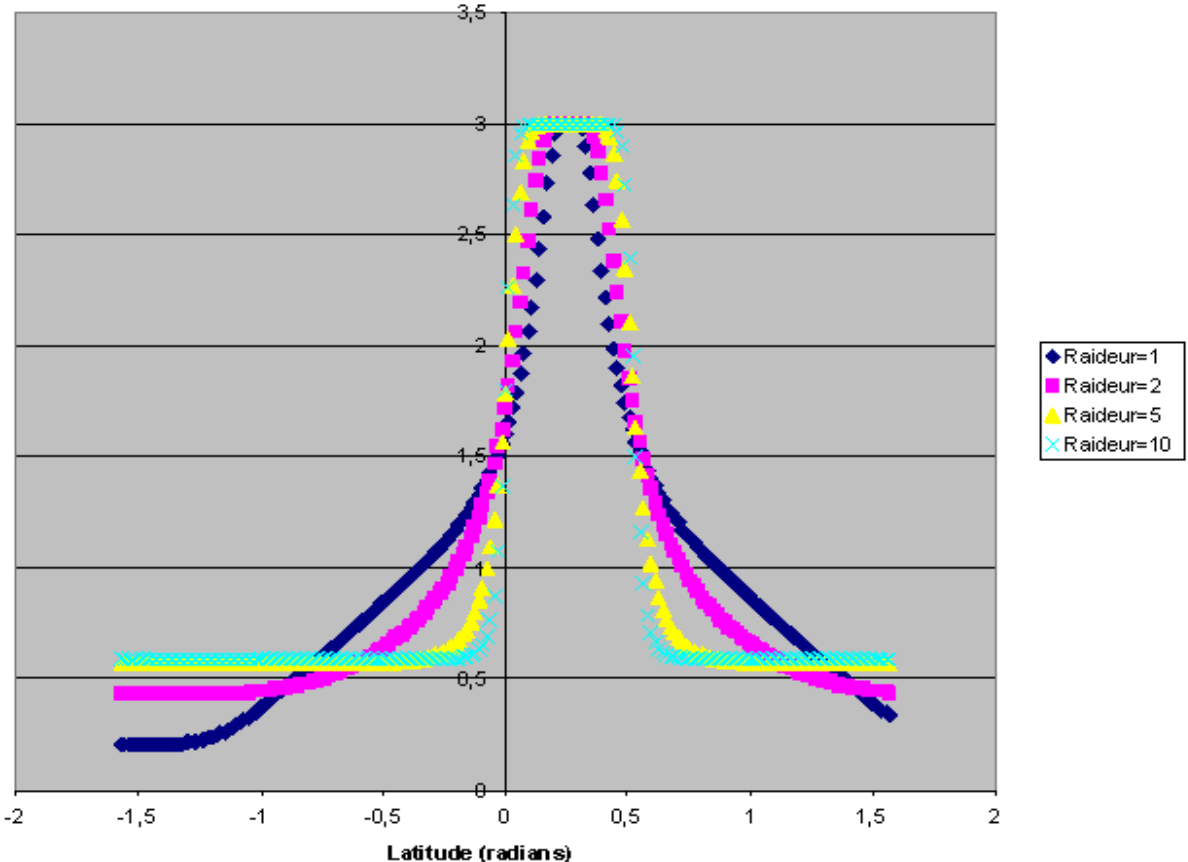
Computed as the ratio of the
 Finest model grid mesh length and of the equivalent length for the regular grid with
 same number of points.

dzoomx/y : fraction of the grid in which the resolution is increased.



$$\begin{aligned}
 \delta x &= 360^\circ / iim \\
 \delta y &= 180^\circ / jjm
 \end{aligned}$$

GROSSISSEMENT LOCAL EN LATITUDE ($\gamma_0=15^\circ\text{N}$, $\text{Gamma}=3$, $\Delta=30^\circ$)



Zoom center :

clon : longitude (degrees)
clat : latitude (degrees)

grossimx/y : zooming factor
in x/y

Computed as the ratio of the
Finest model grid mesh length and of the equivalent length for the regular grid with
same number of points.

dzoomx/y : fraction of the grid in which the resolution is increased.

taux/y : « stiffness »

Nudging :

Relaxation toward analyzed fields

Nudging

$$\frac{\partial u}{\partial t} = \frac{\partial u}{\partial t}_{GCM} + \frac{u_{analysis} - u}{\tau}$$

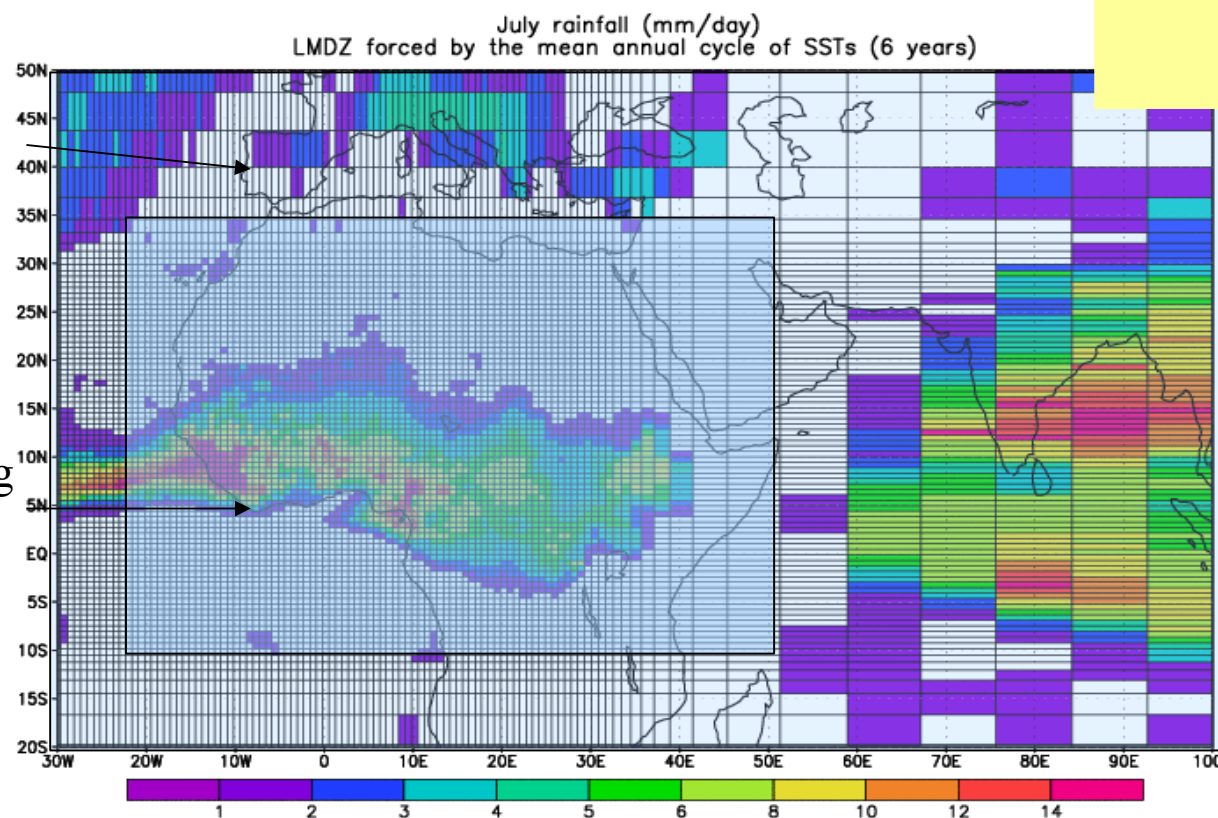
$$\frac{\partial v}{\partial t} = \frac{\partial v}{\partial t}_{GCM} + \frac{v_{analysis} - v}{\tau}$$

τ Time constant for the relaxation of the model wind toward analyses

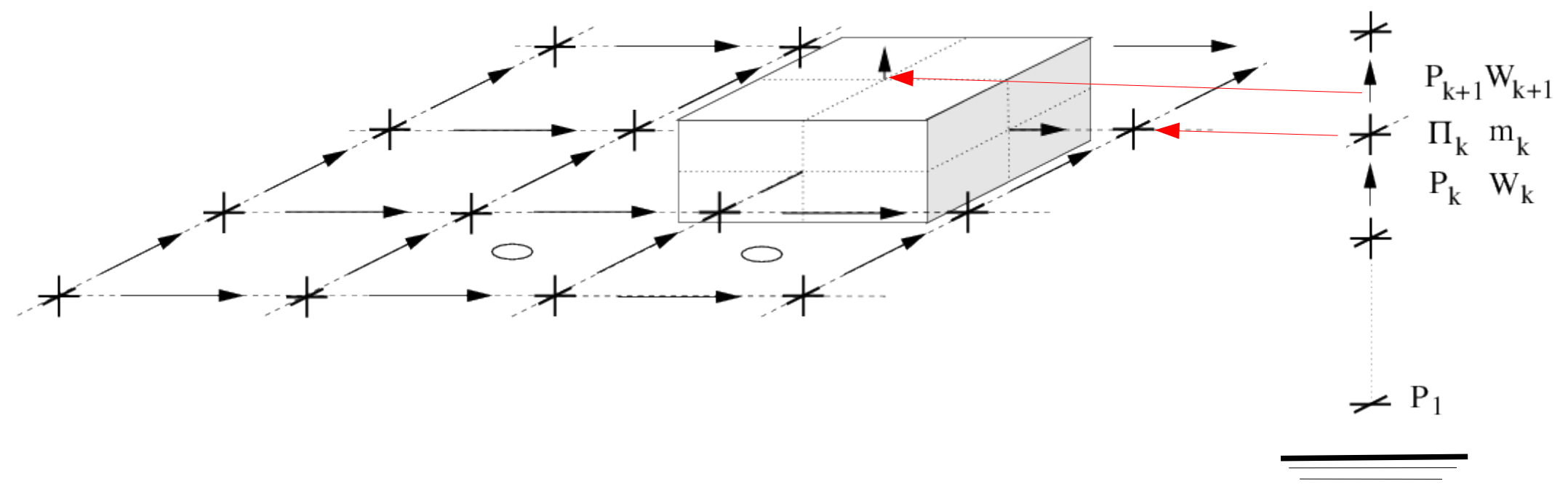
$u_{analysis}$ $v_{analysis}$

Strong nudging
($\tau=30\text{min}$)

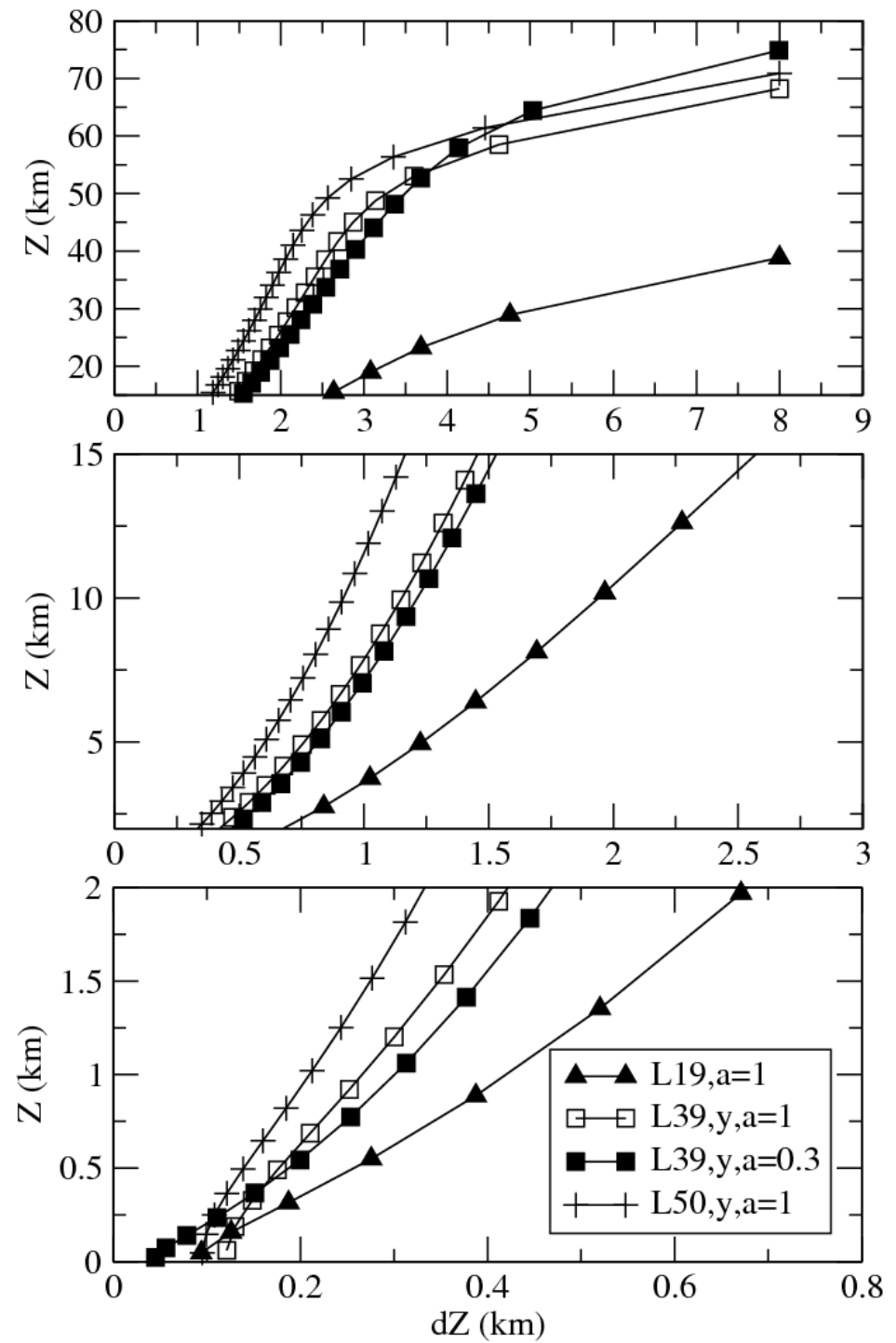
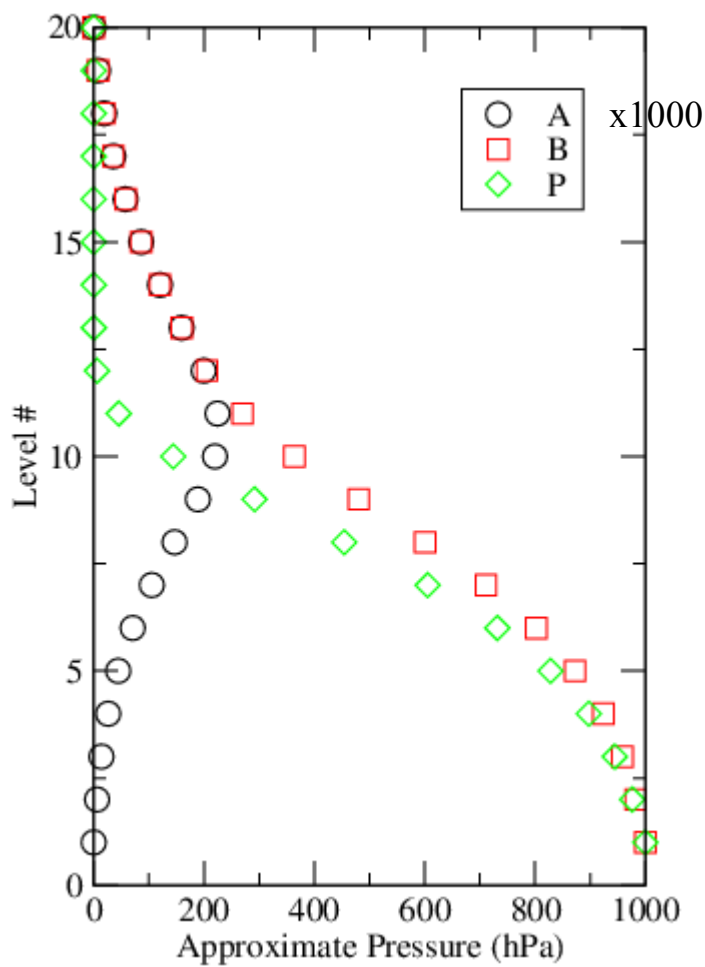
Weaker nudging
($\tau=10\text{ days}$)



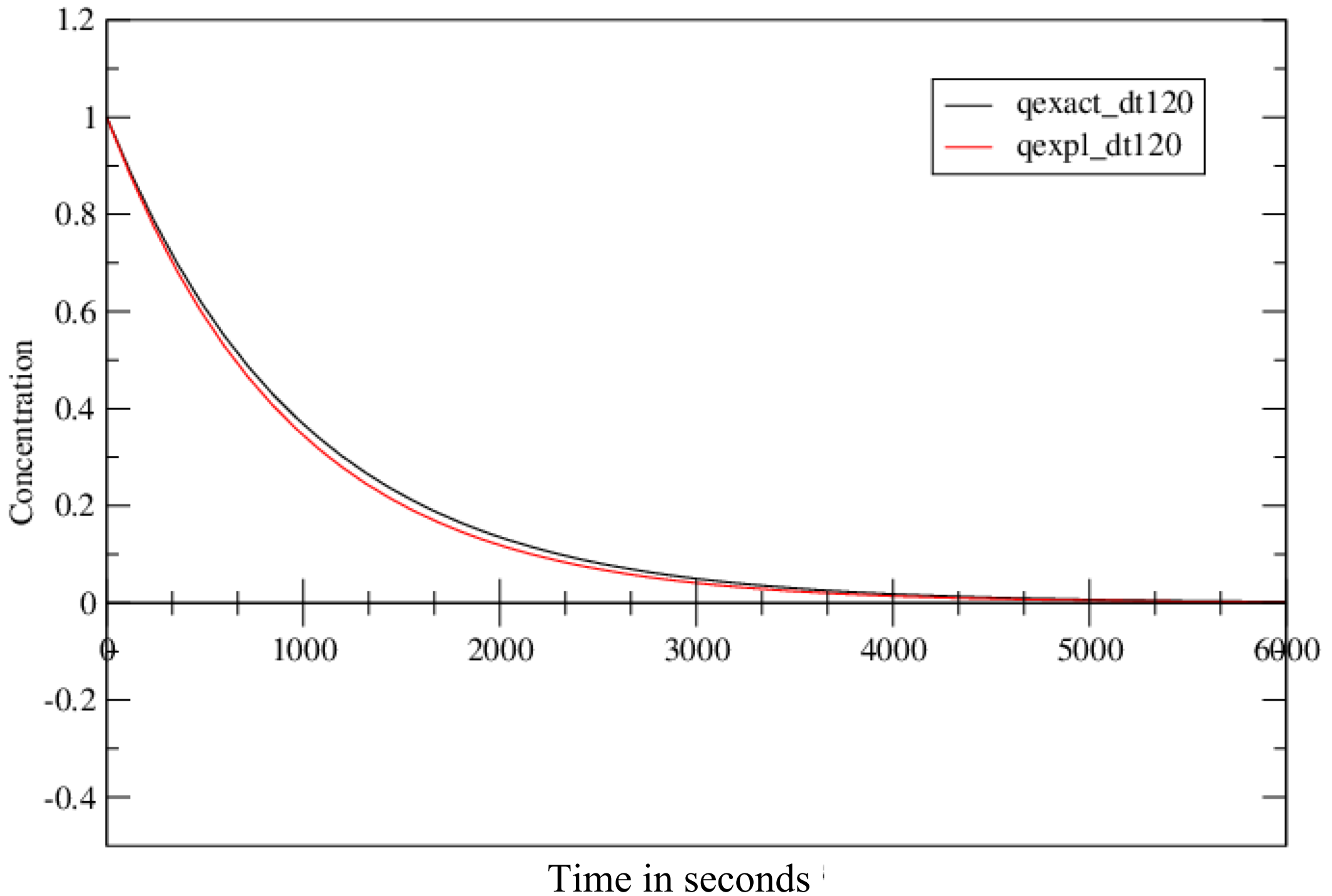
```
ok_guide=y
guide_u= y
guide_v= y
guide_T= n
guide_P= n
guide_Q= n
tau_min_u=0.0208333
tau_max_u=10
tau_min_v=0.0208333
tau_max_v=10
```

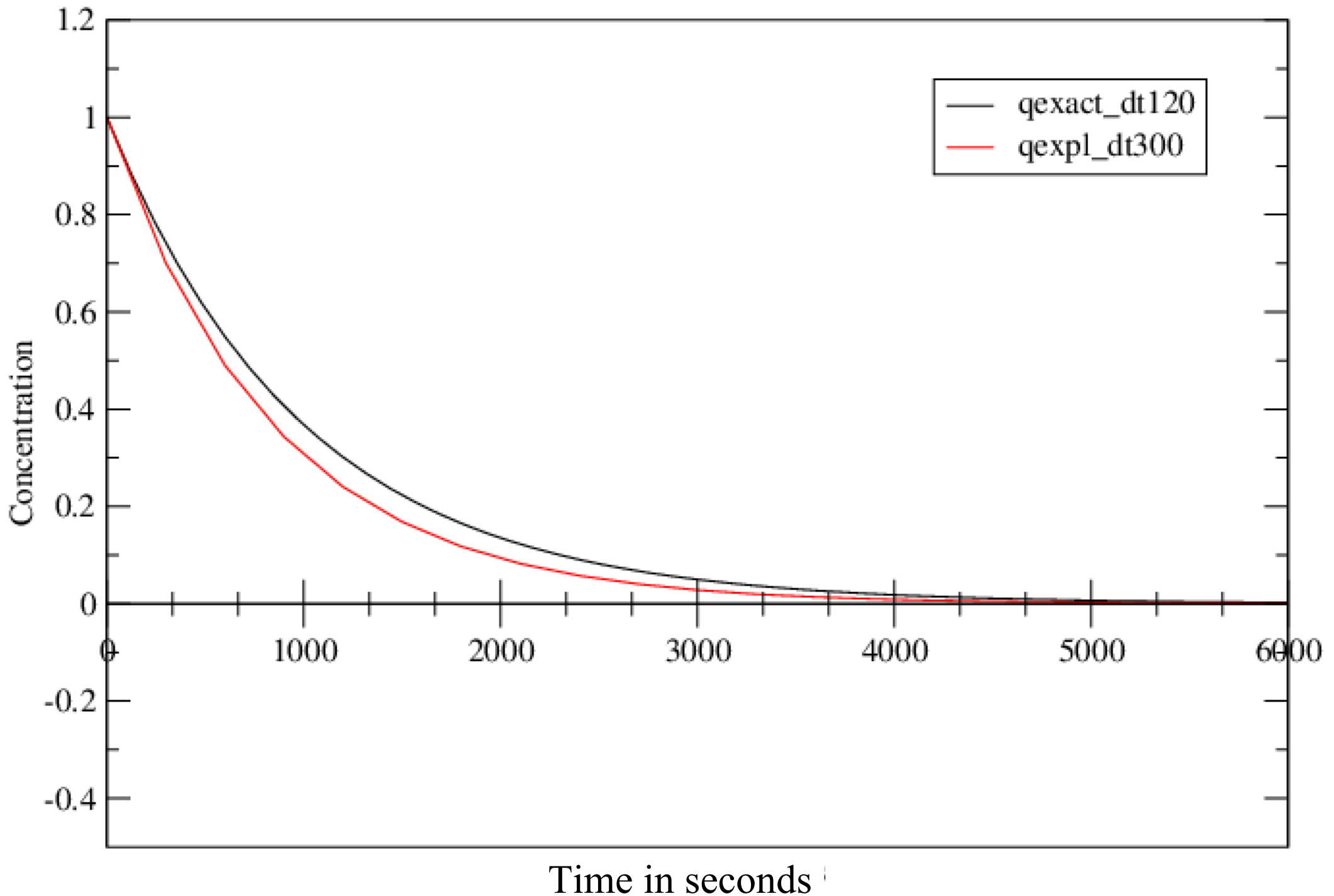


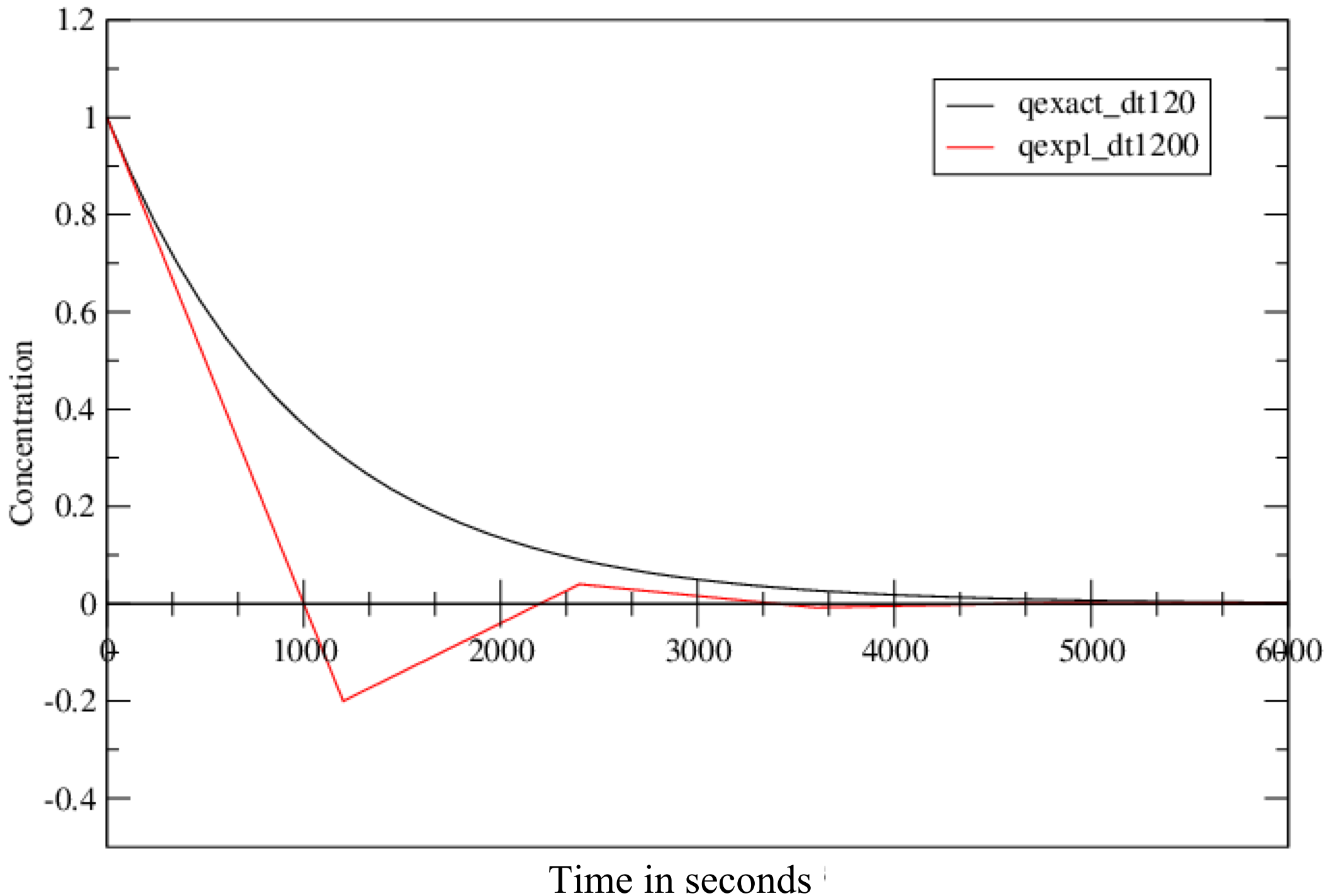
$$P_{i,j,l} = A_l + P s_{i,j} B_l$$

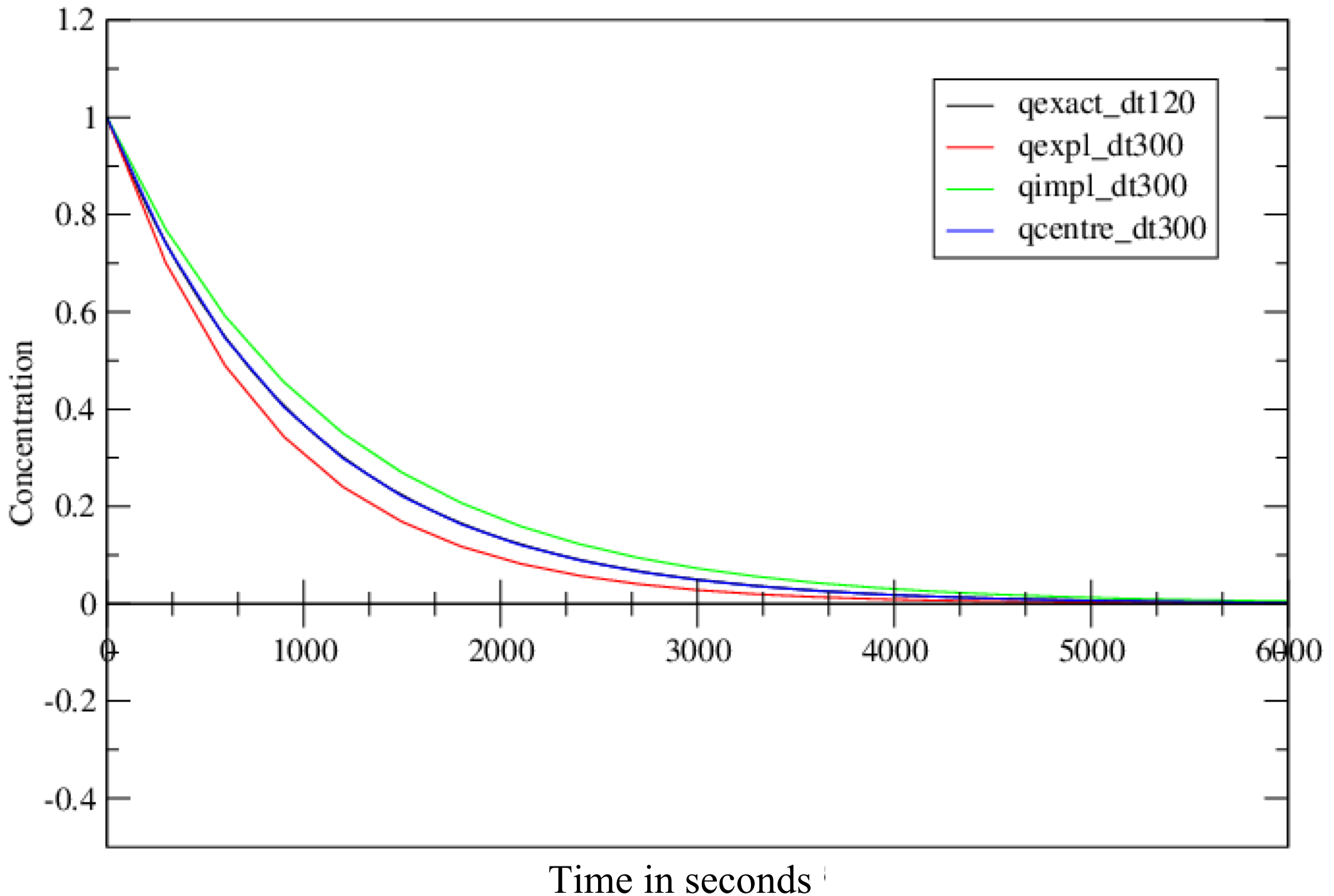


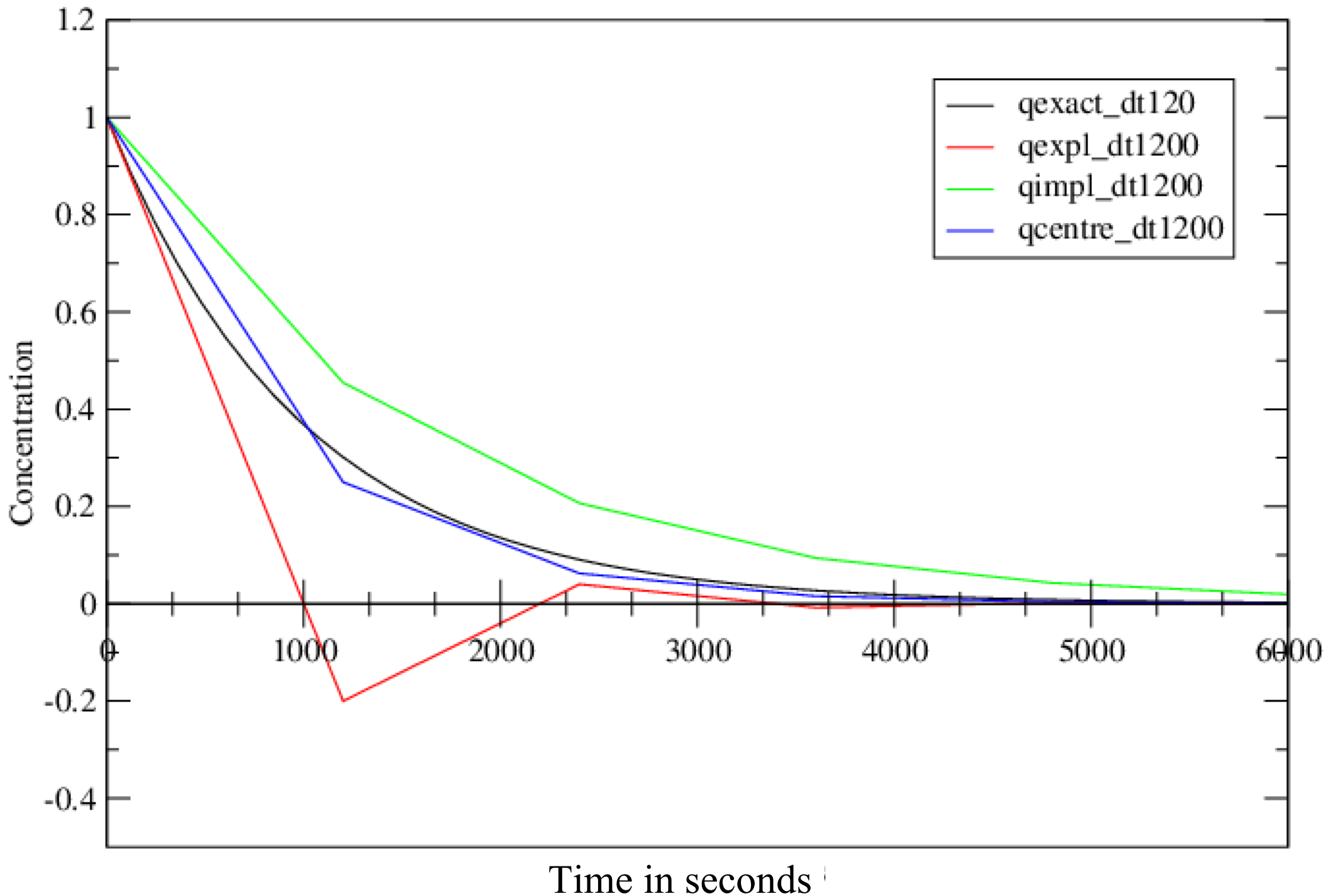
~/LMDZ/PEDAGO/VERT/vert.sh
~/LMDZ/NOTES/RESOLV/vertz.png

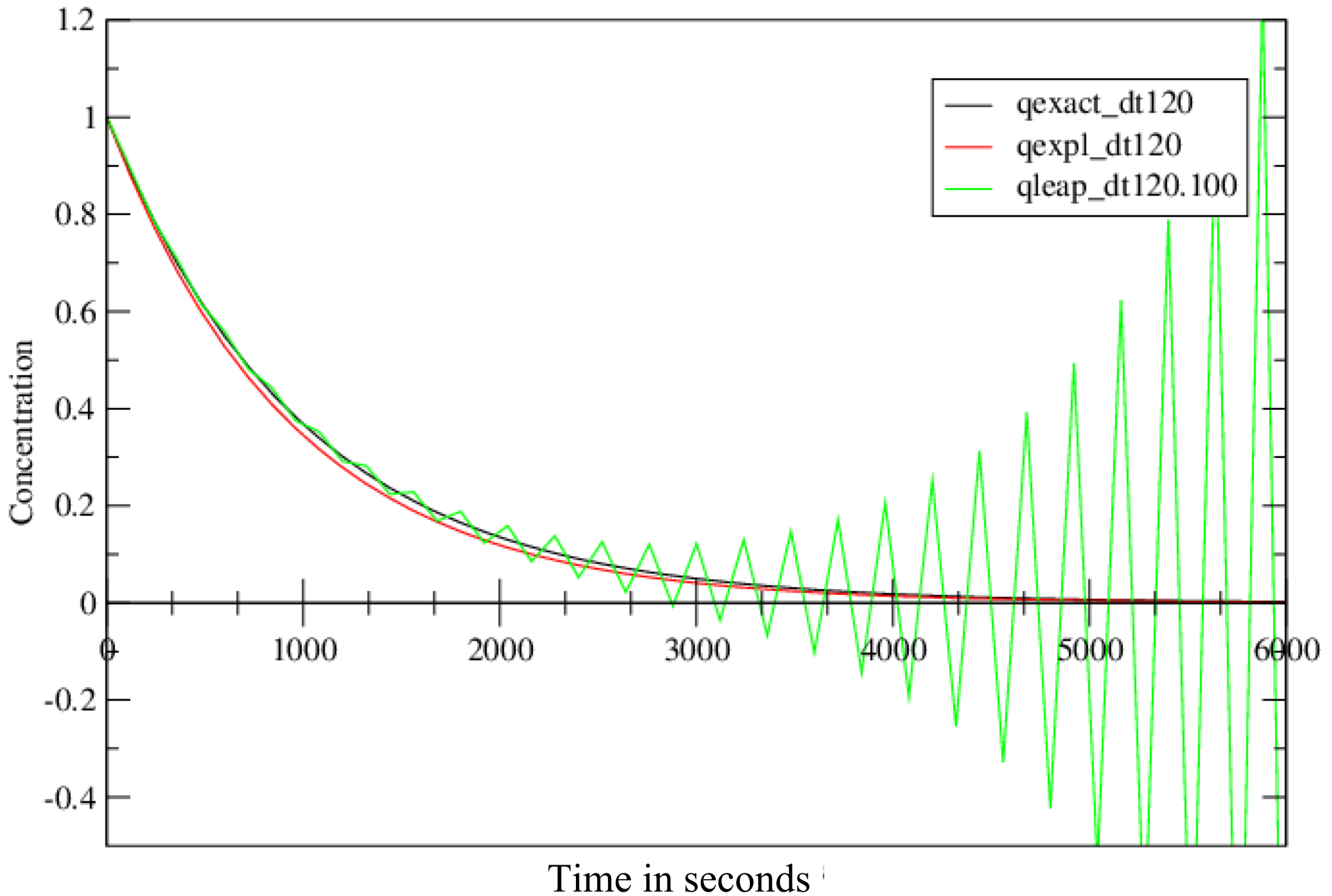


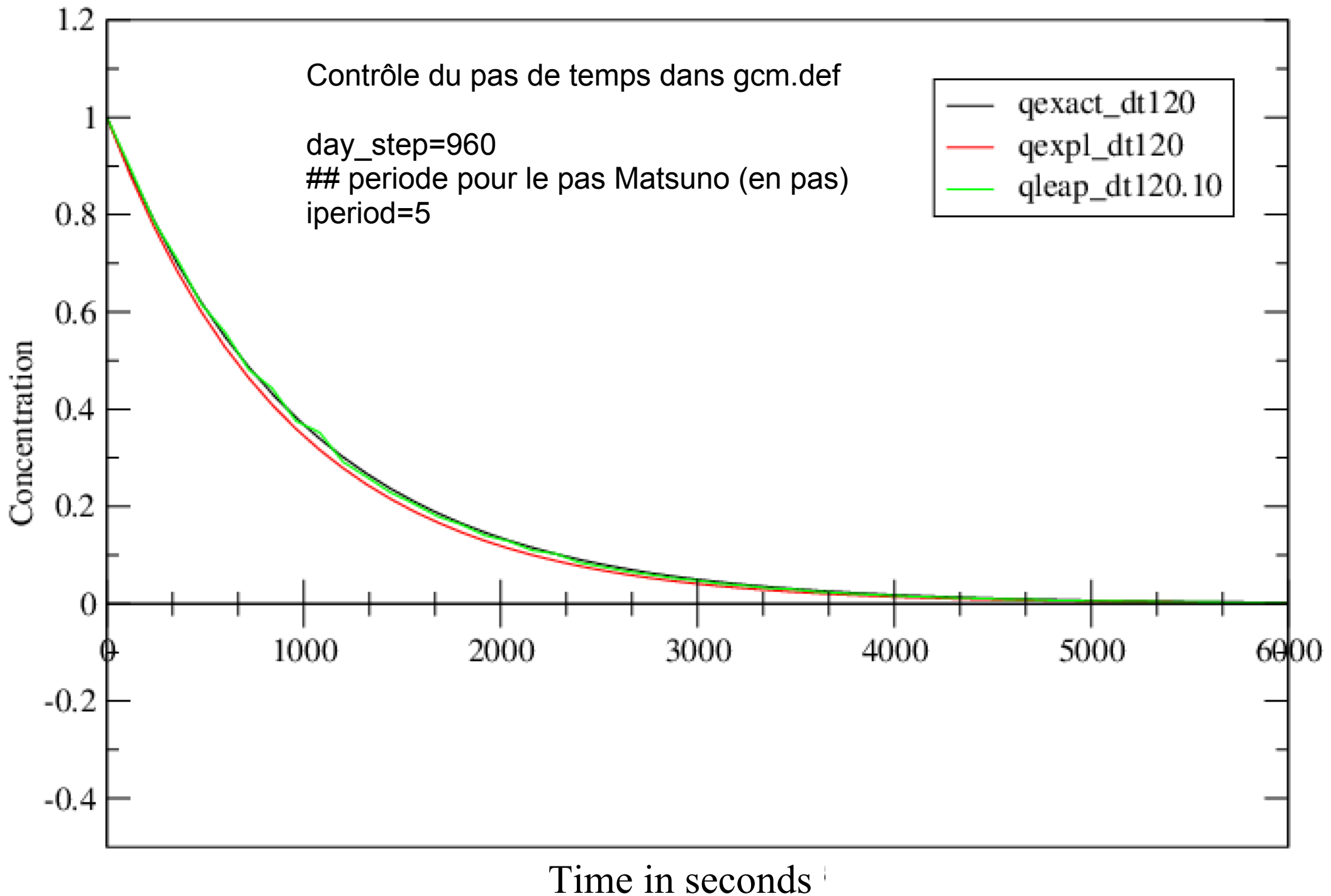


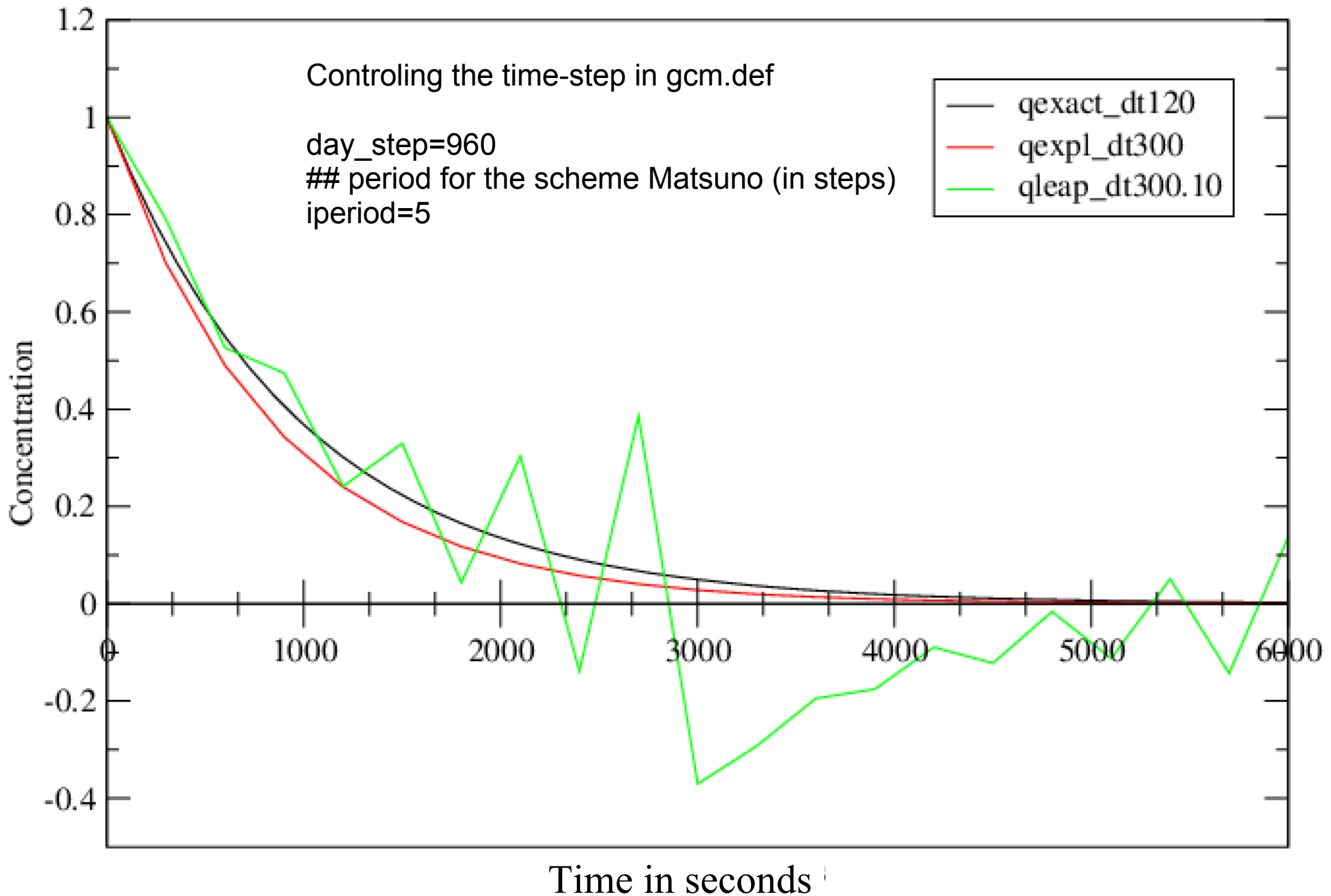


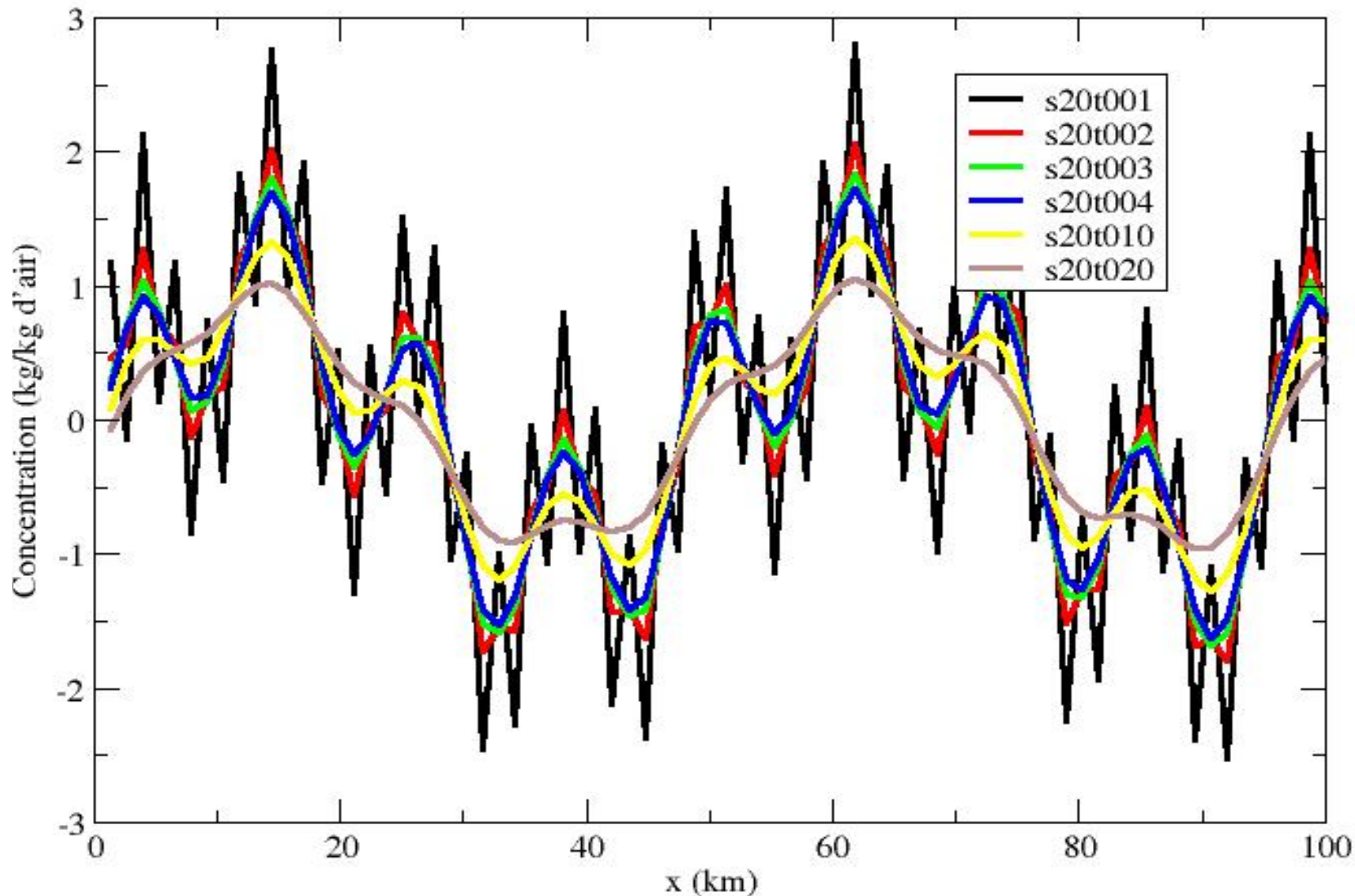












Example of dissipation computation in 1D on an initial field consisting of the sum of two sign functions + a numerical mode

Controling dissipation in gcm.def

```
## dissipation periodicity (in time-step)
idissip=5
## Dissipation operator choice (star or non star )
lstardis=y
## number of iterations for the dissipation gradiv
nitergdiv=1
## number of iterations for the dissipation nxgradrot
nitergrot=2
## number of iterations for the dissipation divgrad
niterh=2
## dissipation time for the smallest wave length for u,v (gradiv)
tetagdiv=5400.
## dissipation time for the smallest wave length for u,v (nxgradrot)
tetagrot=5400.
## dissipation time for the smallest wave length for h ( divgrad)
tetatemp=5400.
```

Example of parameter tuning in gcm.def

Sensibility tests to horizontal resolution (Foujols et al.)

http://forge.ipsl.jussieu.fr/igcmg/wiki/ResolutionIPSLCM4_v2

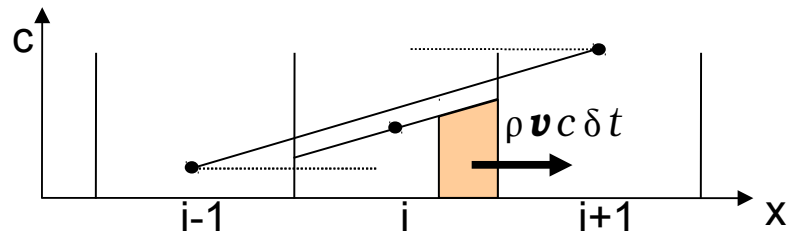
Tableau récapitulatif des différences entre résolutions et avec le couplé standard

	R44	R97	R99	R149	R1414	R1914
Résolutions						
atmosphère	44x43x19	96x71x19	96x95x19 (*)	144x96x19	144x142x19	192x142x19 (*)
océan	ORCA2	ORCA2	ORCA2	ORCA2	ORCA2	ORCA2
Etat initial						
océan	2L20 - 20 ans 30 12 1859	2L20 -30 12 1859	2L20 -30 12 1859	2L20 - 30 12 1859	2L20 - 30 12 1859	2L20 - 30 12 1859
atmosphère	10 ans forcé AMIP 1980-1989 F44A	10 ans forcé AMIP 1980-1989 F97A	10 ans forcé AMIP 1980-1989 F99A	10 ans forcé AMIP 1980-1989 F149A	10 ans forcé AMIP 1980-1989 F1414A	10 ans forcé AMIP 1980-1989 F1914A
coupleur	défaut	défaut	défaut	défaut	défaut	défaut
atmosphère (idem avec dynzon)	10 ans forcé AMIP 1980-1989 F44AZ	10 ans forcé AMIP 1980-1989 F97AZ	10 ans forcé AMIP 1980-1989 F99AZ	10 ans forcé AMIP 1980-1989 F149AZ	10 ans forcé AMIP 1980-1989 F1414AZ	10 ans forcé AMIP 1980-1989 F1914AZ
coupleur	défaut	défaut	défaut	défaut	défaut	défaut
Paramètres						
day_step	240	480	480 (=96x71)	720	720	960 (**)
nitergdiv	1					
iphi physiq	5	10	10 (=)	15	15	20 (**)
tetagdiv	36000.	5400. (**)	5400. (=)	5400. (**)	3600.	3600. (=144x142)
tetagrot	18000.	7200. (**)	7200. (=)	7200. (**)	5400.	5400. (=)
tetatemper	18000.	7200. (**)	7200. (=)	7200. (**)	5400.	5400. (=)
cvl_corr	1.0	1.0	1.0 (=)	1.0	1.0 (**)	1.0 (=)

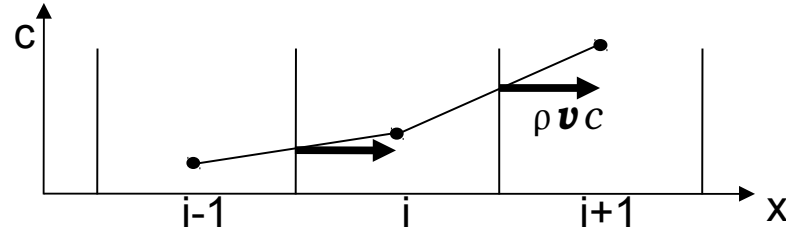
Large scale advection

Introduction of the Van Leer I scheme (1977), a second order finite volume scheme with slope limiters (MUSCL, MINMOD) (Hourdin et Armengaud, 1999). Guaranty of fundamental physical properties of transport : conservation of the total quantity, positivity, monotony, non increase of extrema, weak numerical diffusion

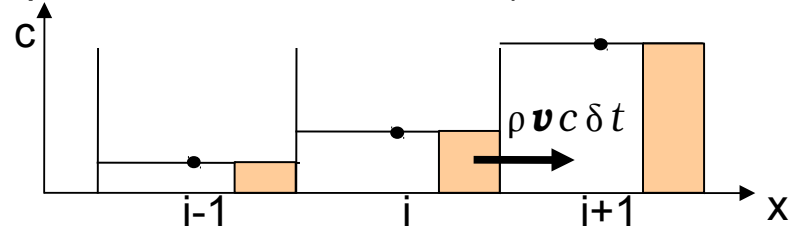
Scheme I by Van Leer (1977)



Centered finite differences (second order)



Upwind first order scheme (Godunov, 1952)



1D advection test with a Gaussian bell

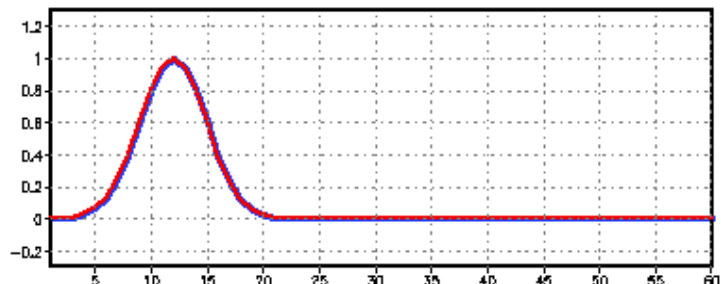
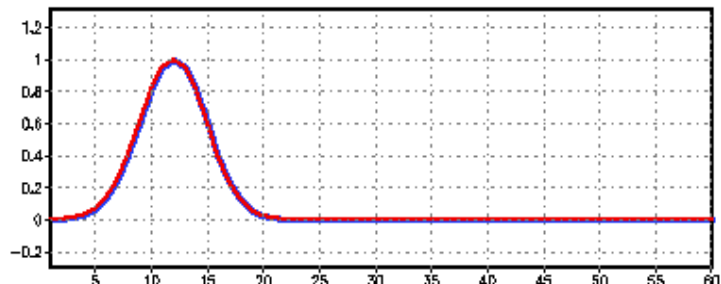
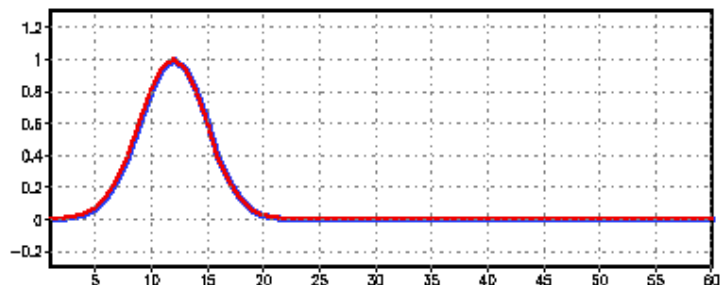
—Initial distribution

—Exact solution (translation)

—Computation with advection scheme

U constant, CFL number U dt/dx = 0.2

\overrightarrow{U}



```
dtvr = daysec / day_step
dtphys=iphysiq*dtvr
dtdiss=dissip_period*dtvr
dtvrtrac=iapp_trac*dtvr
```

Contraintes

dtvr limité par le CFL sur les ondes Cmax dt < min(dxmin,dymin)

dtrtrac limité par un CFL d'advection Umax dt < min(dxmin,dymin)

iphysiq, dissip_period,dtvrtrac = multiples de **iperiod**

iperiod (=5 par défaut) : fréquence d'appel à Matsuno

dtdiss << teta_temp, teta_rot, teta_temp

Grille régulière :

day_step(max(iim,jjm)=N) ~ day_step(max(iim,jjm)=M) * M/N

Grille régulière :

day_step (zoom) ~ day_step (reg) * max(grossismx,grossimy)

Main « calls » in dyn3d /leapfrog.F

```

CALL pression( ip1jmp1, ap, bp, ps, p      )
    CALL exner_hyb( ip1jmp1, ps, p,alpha,beta, pk, pkf )

    call guide_main(itau,ucov,vcov,teta,q,masse,ps)

CALL SCOPY( ijmlm ,vcov , 1, vcovm1 , 1 )
CALL SCOPY( ijp1llm,ucov , 1, ucovm1 , 1 )
CALL SCOPY( ijp1llm,teta , 1, tetam1 , 1 )
CALL SCOPY( ijp1llm,masse, 1, massem1, 1 )
CALL SCOPY( ip1jmp1, ps , 1, psm1 , 1 )
CALL SCOPY ( ijp1llm,  masse, 1, finvmaold,   1 )

CALL filtreg ( finvmaold ,jjp1, llm, -2,2, .TRUE., 1 )

CALL geopot ( ip1jmp1, teta , pk , pks, phis , phi )

CALL caldyn

CALL caladvtrac(q,pbaru,pbarv,

CALL integrd ( 2,vcovm1,ucovm1,tetam1,psm1,massem1 ,

CALL calfis( lafin , jD_cur, jH_cur, ←
CALL top_bound( vcov,ucov,teta,masse,dufi,dvfi,dtetafi)
CALL addfi( dtvr, leapf, forward , ←
CALL dissip(vcov,ucov,teta,p,dvdis,dudis,dtetadis)

CALL dynredem1("restart.nc",0.0)

CALL bilan_dyn(2,dtvr*iperiod,dtvr*day_step*periodav,

```

Physical tendencies $\underline{U}, \theta, q \rightarrow \underline{E}, Q, Sq$

Time integration for physical tendencies

$$(\underline{U}, \theta, q)_{t+\delta t} = (\underline{U}, \theta, q)_t + \delta t * (\underline{E}, Q, Sq)$$

Main « calls » in dyn3d /leapfrog.F

```
CALL pression( ip1jmp1, ap, bp, ps, p      )
  CALL exner_hyb( ip1jmp1, ps, p, alpha,beta, pks, pk, pkf)

  call guide_main(itau,ucov,vcov,teta,q,masse,ps)

CALL SCOPY( ijmlm ,vcov , 1, vcovm1 , 1 )
CALL SCOPY( ijp1llm,ucov , 1, ucovm1 , 1 )
CALL SCOPY( ijp1llm,teta , 1, tetam1 , 1 )
CALL SCOPY( ijp1llm,masse, 1, massem1, 1 )
CALL SCOPY( ip1jmp1, ps , 1, psm1 , 1 )
CALL SCOPY ( ijp1llm, masse, 1, finvmaold,   1 )

CALL filtreg ( finvmaold ,jjp1, llm, -2,2, .TRUE., 1 )

CALL geopot ( ip1jmp1, teta , pk , pks, phis , phi )

CALL caldyn

CALL caladvtrac(q,pbaru,pbarv,

CALL integrd ( 2,vcovm1,ucovm1,tetam1,psm1,massem1 , 1

CALL calfis( lafin , jD_cur, jH_cur,    ←
CALL top_bound( vcov,ucov,teta,masse,dufi,dvfi,dtetafi)
CALL addfi( dtvr, leapf, forward ,    ←
CALL dissip(vcov,ucov,teta,p,dvdis,dudis,dtetadis)

CALL dynredem1("restart.nc",0.0)

CALL bilan_dyn(2,dtvr*iperiod,dtvr*day_step*periodav,
```

Computation of pressure from Al, Bl coeffs

Nudging

Longitudinal filtering near poles
Hydrostatic equation vertical integration
Computation of dynamical tendencies
Tracer advection
Time integration for dynamics

Physical tendencies $\underline{U}, \theta, q \rightarrow \underline{E}, Q, Sq$

Time integration for physical tendencies
 $(\underline{U}, \theta, q)_{t+\delta t} = (\underline{U}, \theta, q)_t + \delta t * (\underline{E}, Q, Sq)$

Horizontal dissipation